

Работа с текстом. Добавление информации на основную часть буклета. Обеспечение читабельности текста.

Подбор и добавление соответствующих фотографий.

Добавление информации об институте (рис. 2). Так же добавление карты расположения всех корпусов ТПУ.

### Готовые варианты буклетов (рис. 3.1 и 3.2)

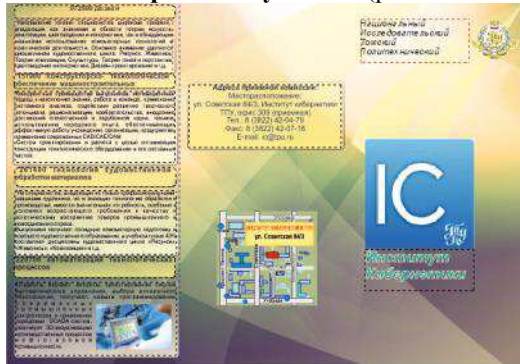


Рис. 3.1. Лицевая сторона буклета



Рис. 3.2. Задняя сторона буклета

По просьбе заказчика разработаны другие варианты буклетов в более теплой цветовой гамме (рис. 4, 5).

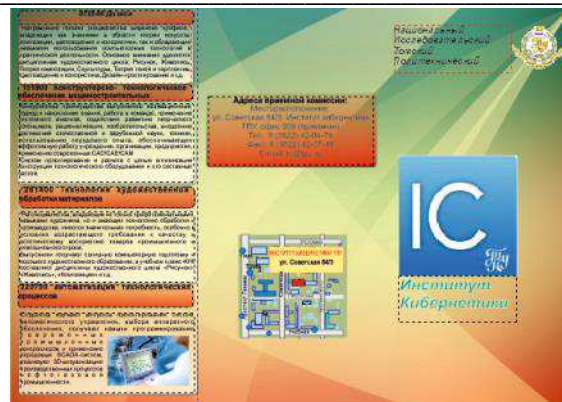


Рис. 4. Вариант буклета в теплой цветовой гамме



Рис. 5. Вариант буклета в теплой цветовой гамме

### Заключение

В процессе выполнения работы был создан буклет Института Кибернетики в среде графического пакета CorelDRAW. Это позволило получить знания и навыки работы с указанным программным обеспечением, познакомиться с технологией создания дизайна буклетов.

### Литература

- Сайт Института Кибернетики [электронный ресурс]: <http://portal.tpu.ru/ic/info/mission> [10.10.13]
- Гурский Ю., Гурская И., CorelDRAW. Трюки и эффекты. – СПб.: Питер, 2005 – 464 стр.
- Сайт графического пакета CorelDRAW[электронный ресурс]: <http://www.corel.ru/> [13.10.13]
- А.А Захарова Курс лекций по предмету «ИТ в дизайне» – Томск НИ ТПУ, 2013г.

## ПОСТРОЕНИЕ ДВИЖЕНИЯ ТОЧКИ ПО ЦИЛИНДРИЧЕСКОЙ ПОВЕРХНОСТИ ИЗ ОДНОГО ПОЛОЖЕНИЯ В ДРУГОЕ

Романова С.В., Франковский Б.А.  
Томский политехнический университет  
634050, Россия, г. Томск, пр-т Ленина, 30  
E-mail: romanova@tpu.ru

При конструировании машин их механизмы приходится подбирать так, чтобы ведомое звено совершило движение по заданному закону. Очень

часто закон изменения скорости или ускорения ведомого звена не имеет существенного значения, а важно лишь воспроизвести его ход определен-

ной величины – это имеет место в кулачковых механизмах. Например, процесс сложного движения направляющей по цилиндрической наклонной поверхности [3].

Рассмотрим пример построения проекции траектории движения точки  $N(n')$  по поверхности наклонного цилиндра в точку  $M(m')$  (рис. 1). Для определения кратчайшего пути движения точки необходимо будет выполнить развертку поверхности цилиндра и нанести линию траектории движения точки.

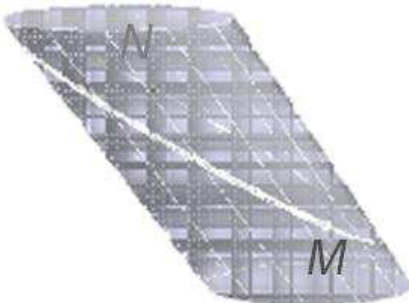


Рис. 1. Трехмерная модель наклонного цилиндра с траекторией движения точки

Движение точки будет происходить в проецирующей плоскости. Заключаем точки  $N$  и  $M$  во фронтально-проецирующую плоскость  $P$ , ее фронтальный след пройдет через фронтальные проекции  $n'$  и  $m'$ . Поскольку плоскость  $P$  сечет цилиндр под углом к оси вращения, то линией сечения является эллипс. Следовательно, траекторией движения точки будет часть эллипса. Необходимо выяснить какая часть эллипса по длине будет меньше.

Для построения линии сечения: основание цилиндра на плоскости  $H$  делят на 12 равных частей и через полученные точки проводят горизонтальные образующие ( $1; 2; 3; \dots; 12$ ), а затем фронтальные проекции этих образующих ( $1'; 2'; 3'; \dots; 12'$ ).

Определяем точки пересечения образующих цилиндра с плоскостью  $P$ . Фронтальная проекция линии сечения ( $a'_1; a'_2; m'; a'_3; a'_4; a'_5; n'; a'_6; a'_7; a'_8$  и т.д.) совпадает с фронтальным следом плоскости  $P_v$ , а горизонтальные проекции ( $a_1; a_2; m; a_3; a_4; a_5; n; a_6; a_7; a_8$  и т.д.) полученных точек находят на горизонтальных проекциях соответствующих образующих.

Полученные точки на горизонтальной проекции цилиндра соединяют лекальной кривой с учетом видимости (рис. 2).

Для построения развертки находим натуральную величину образующих цилиндра способом перемены плоскостей проекций, заменяем фронтальную плоскость проекции  $V$  новой  $V_1$ . В этом случае дальнейшее решение переходит из системы

$\frac{V}{H}$  в систему  $\frac{V_1}{H}$ . Новую плоскость  $V_1$  устанавливаем параллельно оси цилиндра, чтобы образующие цилиндра ( $1'_1; 2'_1; 3'_1; \dots; 12'_1$ ) проецировались на плоскость  $V_1$  в натуральную величину. На плоскости  $V_1$  проекции точек линии сечения ( $a'_{11}; a'_{12}; a'_{21}; a'_{31}; a'_{41}; m'_1; a'_{51}; a'_{61}; a'_{71}; a'_{81}$  и т.д.) находим на соответствующих образующих цилиндра (рис. 2).

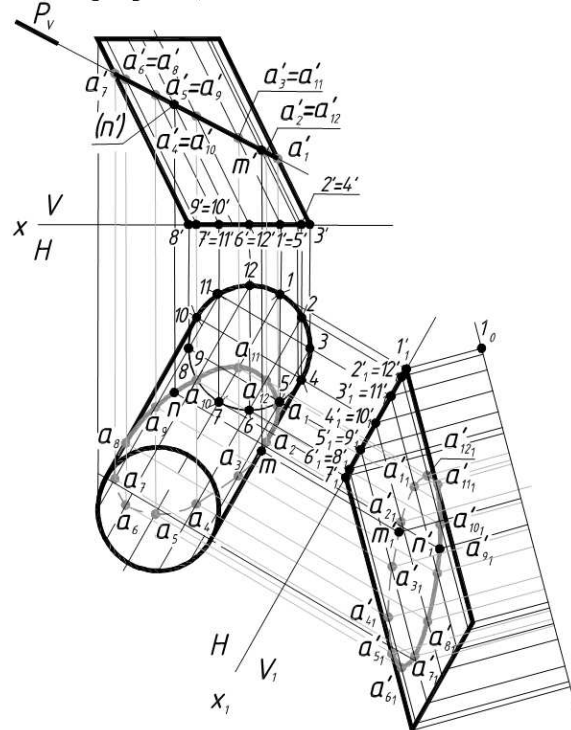


Рис. 2. Построение траектории движения точки  $N$  по поверхности наклонного цилиндра в точку  $M$

Развертку боковой поверхности цилиндра строят приближенным способом (раскаткой). Для этого из  $2'_1$  проводят прямую, перпендикулярную к образующей  $1'_1 - 1'_1$  цилиндра, и радиусом, равным хорде 1-2, из  $1_0$  как из центра проводят дугу окружности, которая пересекается с этим перпендикуляром в точке  $2_0$ . Точно так же, проведя перпендикуляр  $3'_1$  и проводя тем же радиусом из центра  $2_0$  дугу окружности до пересечения с этим перпендикуляром, получаем точку  $3_0$  и т.д.

Полученные точки  $1_0; 2_0; 3_0; \dots; 12_0$  соединяют плавной лекальной кривой. Развертка верхнего основания цилиндра симметрична развертке нижнего, построение его понятно из чертежа (рис. 3).

Траекторию движения точки из одного положения в другое на развертке ( $A_{10}; A_{20}; M_0; A_{30}; \dots; N_0; A_{70}$  и т.д.) получают, проводя перпендикуляры из проекций точек ( $a'_{11}; a'_{21}; m'_1; a'_{31}; a'_{41}; a'_{51}; n'_1; a'_{61}; a'_{71}; a'_{81}$  и т.д.) до пересечения с соответствующими образующими на развертке (рис. 3) [2].

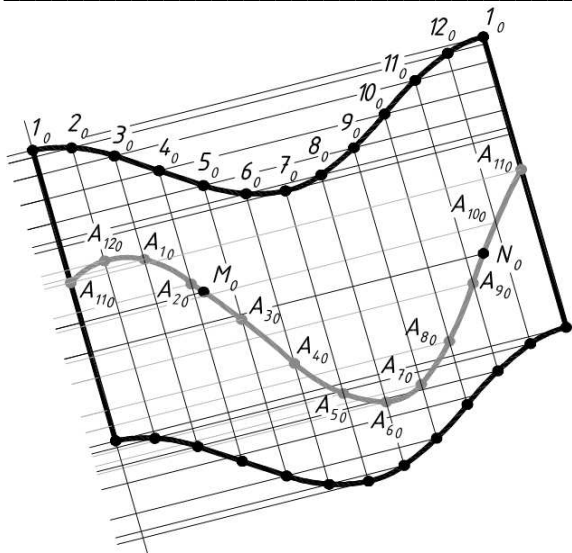


Рис. 3. Развёртка наклонной цилиндрической поверхности с траекторией движения точки

Затем спрямляют участки эллипса от точки N<sub>0</sub> до точки M<sub>0</sub>. линия траектории движения от M<sub>0</sub>; A<sub>30</sub>; ... A<sub>80</sub>; N<sub>0</sub> будет короче, чем линия от M<sub>0</sub>; A<sub>20</sub>; A<sub>10</sub>; ... A<sub>90</sub>; N<sub>0</sub>, что можно увидеть на рисунке 4.

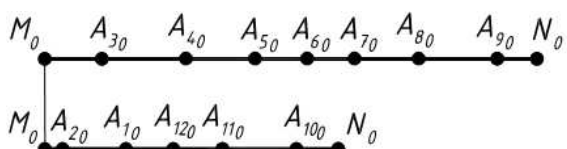


Рис. 4. Спрямление участков пространственной кривой

Для определения наглядного движения точки N по поверхности наклонного цилиндра необходимо на развертке построить лекальную кривую эллипса в натуральную величину. Наиболее точное построение эллипса происходит, когда используются натуральные величины большой |a'<sub>1</sub>a'<sub>7</sub>| = |A<sub>10</sub>A<sub>70</sub>| и малой осей |a'<sub>4</sub>a'<sub>10</sub>| = |A<sub>40</sub>A<sub>100</sub>| эллипса. Из центра O = (A<sub>1</sub>A<sub>70</sub>) ∩ (A<sub>40</sub>A<sub>100</sub>) проводят две вспомогательные окружности: диаметр одной из них равен большой оси эллипса, а другой – малой оси эллипса. Через точку О проводят пучек лучей через 30°, пересекающих большую и

малую окружность в 12 точках. Из точек деления большой окружности проводят прямые, параллельные малой оси эллипса (A<sub>40</sub>A<sub>100</sub>), а из точек деления малой окружности – прямые параллельные большой оси эллипса (A<sub>10</sub>A<sub>70</sub>); полученные в пересечении точки являются искомыми точками кривой эллипса. На кривой эллипса отмечаем точки N<sub>0</sub> и M<sub>0</sub>, кривая кратчайшего расстояния между точками N<sub>0</sub> и M<sub>0</sub> имеет утолщение (рис. 5) [1].

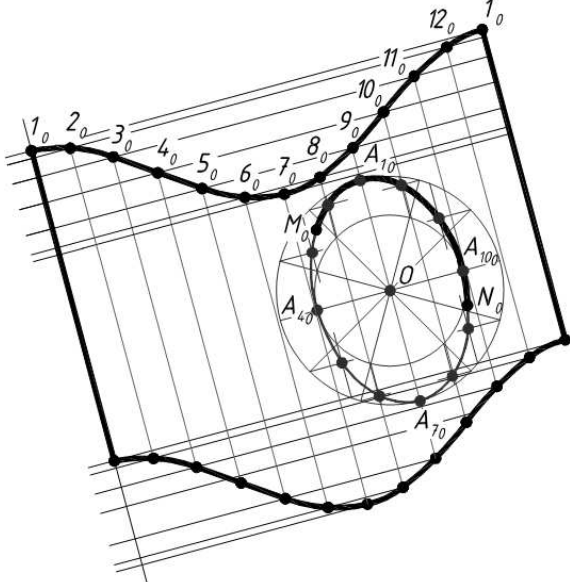


Рис. 5. Наглядное движение точки по поверхности наклонного цилиндра

#### Литература

- Гордон В.О., Курс начертательной геометрии: учеб. Пособие / В.О.Гордон, М.А.Семенцов-Огневский – 23 изд., перераб.- М.: Наука,1988 - 272с.
- Начертательная геометрия: учеб. Пособие / Н.Ф. Четверухин, В.С. Левицкий, З.И. Прянишникова и [др.]; под ред. Н.Ф. Четверухина - М.: Высшая школа, 1963.-420с.
- Кожевников С.Н. Механизмы/ С.Н.Кожевников, Я.Н.Есипенко, Раскин Я.М. - М.: Машиностроение, 1965.- 1060с.

## СПОСОБЫ СОЗДАНИЯ ЧЕРТЕЖА ТРЕХМЕРНОЙ МОДЕЛИ В ПРОГРАММЕ САПР AUTODESK AUTOCAD

Сафьянникова В.И., Спица М.В.

Научный руководитель: Куликова О.А.

Томский политехнический университет

634050, Россия, г. Томск, пр-т Ленина, 30

E-mail: o1415@mail.ru

#### Введение

В настоящее время компьютеризация охватила практически все сферы человеческой жизни. С каждым днем людей, ежедневно использующих

компьютеры для решения задач и автоматизации производственных процессов, становится все больше и больше.